

## 一、前情提要

### 1. Laguerre geometry

考慮三維向量空間  $R^3$ ，定義兩點  $p_{(x_1, y_1, z_1)}$ 、 $Q(x_2, y_2, z_2)$  之間距離為

$$d^2(P, Q) = (x_1 - x_2)^2 + (y_1 - y_2)^2 - (z_1 - z_2)^2$$

，將點  $P(x, y, z)$  從

Laguerre geometry 轉換到 Euclidean geometry，可以表示為在

Euclidean geometry 下，一個圓心為  $(x, y)$  且半徑為  $|z|$  的 directed

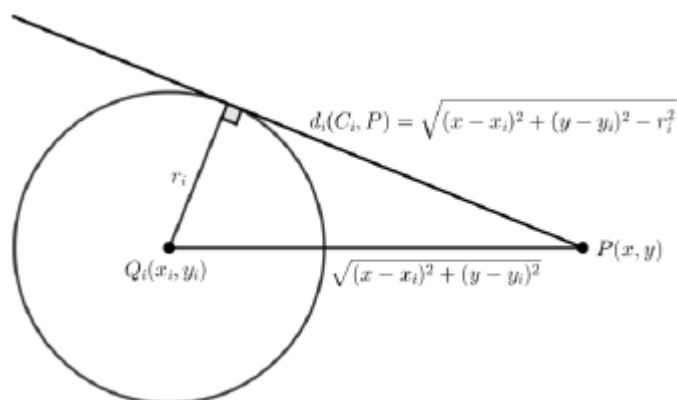
circle，這樣一來考慮圓  $C_i = C_i(Q_i; r_i)$ ，其中  $Q_i = (x_i, y_i)$  為圓心座標且

半徑為  $r_i$ ，點  $P(x, y)$  與  $C_i$  之間的距離可以表示為  $d_L^2(C_i, P) = (x - x_i)^2 +$

$(y - y_i)^2 - r_i^2$ ，如下圖表示。

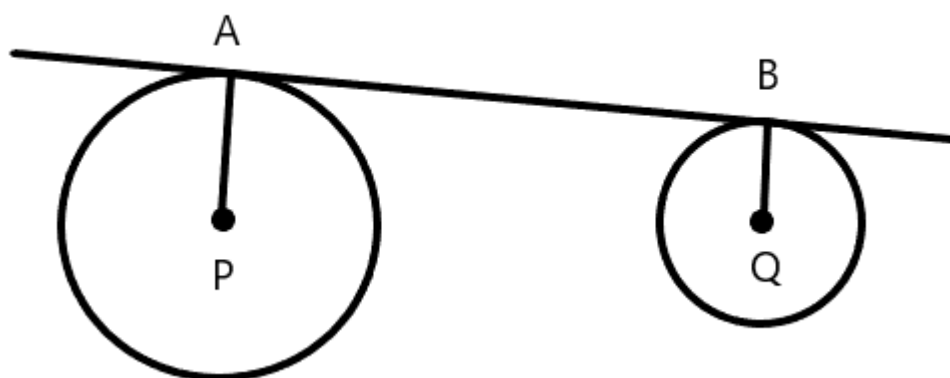
註：若  $P$  在  $C_i$  之外，則  $d_L(C_i, P) > 0$ ，若  $P$  在  $C_i$  之內，則  $d_L(C_i, P) < 0$ ，否

則  $d_L(C_i, P) = 0$ 。



也就是說，兩點  $P$ 、 $Q$  在 Laguerre geometry 上的距離可以換作是在

Euclidean geometry 上兩圓公切線點到點的距離，如下圖AB所示。



## 2. Radical axes and radical centers

令 $C_i$ 與 $C_j$ 為平面上相異兩圓，它們的半徑分別是 $r_1$ 與 $r_2$ 。那麼同平面上對此兩圓的幂相同（也就是對兩圓的切線段等長）的點的軌跡，是一條垂直連心線的直線，稱作這兩圓的根軸，如下圖所示。

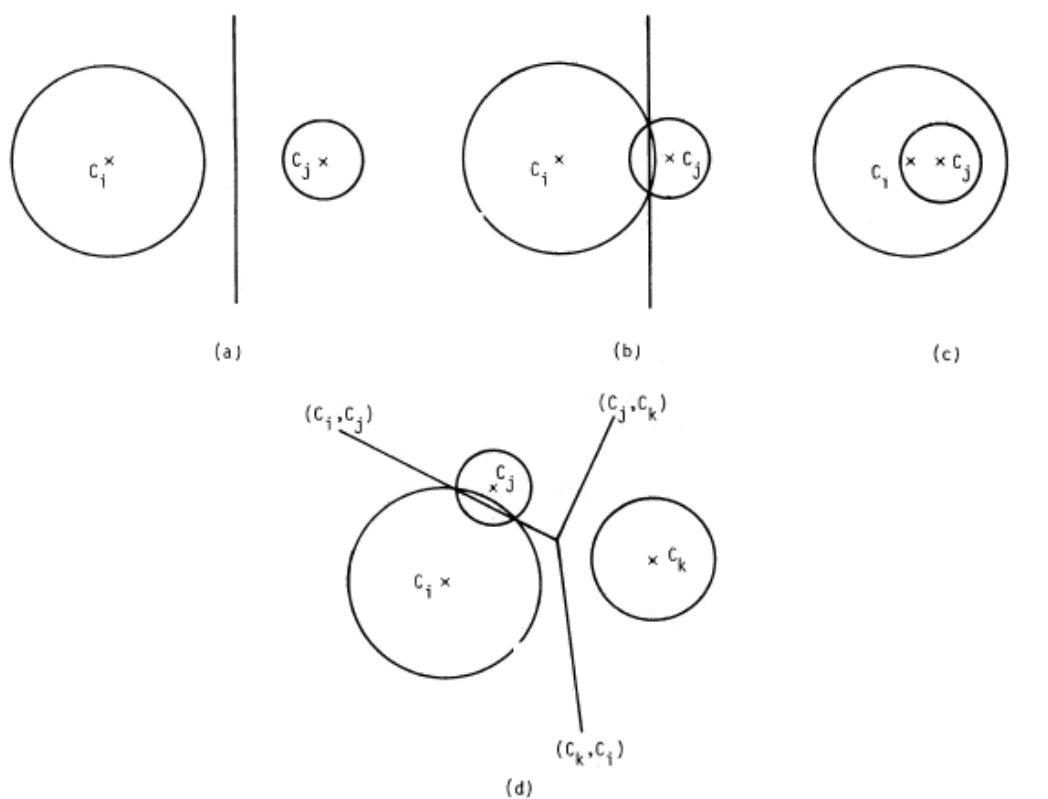
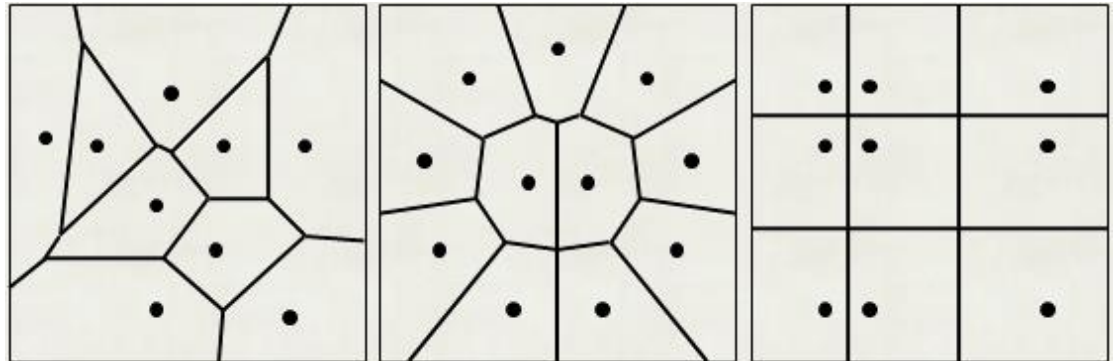


FIG. 1. Radical axes and radical centers.

### 3. Voronoi diagram

平面上散布許多點。平面上每一處，各自歸類於最近的點；自然而然的，形成了分界線。Voronoi Diagram 是分界線組成的集合。Voronoi 是發明者的姓氏。簡單來說，鄰近的點的中垂線，形成 Voronoi diagram。



### 4. Construction of the Voronoi diagram in Euclidean geometry

以下演算法為 Shamos and Hoey 所提出的，使用的技巧為 divide-and-conquer，在 Euclidean geometry 給定  $n$  個平面上相異點集合  $S = \{P_1, P_2, \dots, P_n\}$ ，依照  $x$  軸做排序後，重新給定下標並分為  $L = \{P_1, P_2, \dots, P_{\lfloor n/2 \rfloor}\}$  和  $R = \{P_{\lfloor n/2 \rfloor + 1}, P_{\lfloor n/2 \rfloor + 2}, \dots, P_n\}$  兩個子集合，再對  $L$ 、 $R$  的點集合建構 Voronoi diagram，稱之為  $V(R)$  與  $V(L)$ ，之後再 merge  $V(R)$  與  $V(L)$ ，這一步驟可以再  $O(n)$  完成，此演算法的 time complexity 為  $O(n \log n)$ 。

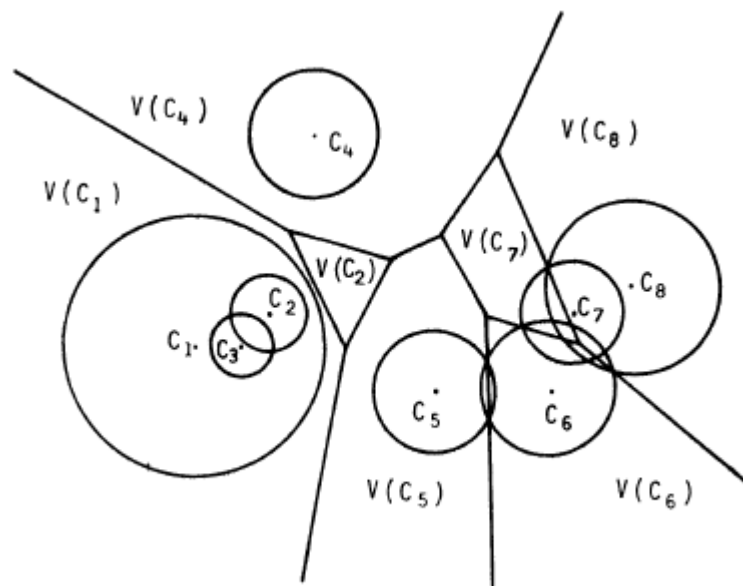
### 5. Definition of the Voronoi diagram in the Laguerre geometry

給定  $n$  個在平面上的圓  $C_i = C_i(Q_i; r_i) (Q_i = (x_i, y_i))$ ，根據上述距離  $d_L(C_i, P)$  的定義，我們可以將定義在 Laguerre geometry 的 Voronoi

diagram 為  $V(C_i) = \bigcap_j \{P \in R^2 \mid d_L^2(C_i, P) \leq d_L^2(C_j, P)\}$  · 如下圖所示。

註： $d_L^2(C_i, P) \leq d_L^2(C_j, P)$  將平面切割為兩塊， $V(C_i)$  為 convex、 $V(C_i)$  可能為空(trivial)、 $C_i$  可能不與  $V(C_i)$  相交(improper)。

註：Voronoi polygon 的頂點稱為 Voronoi point · Voronoi polygon 的邊稱為 Voronoi edge。



根據上述定義可以得知以下三個 LEMMA：

i. LEMMA1

$$V(C_i) = \emptyset \rightarrow C_i \in \text{improper}$$

$$\forall C_i \in \text{improper} \rightarrow \exists \bigcup_{i \neq j} C_j \text{ contained } C_i$$

ii. LEMMA2

給定 n 個點，在 Laguerre geometry 下的 Voronoi diagram，其 Voronoi point 與 Voronoi edge 的 space complexity 為  $O(n)$ 。

### iii. LEMMA3

若  $C_i(Q_i, r_i)$  圓心位在  $Q_i, \dots, Q_n$  所組成的 convex hull 的角上，則

$V(C_i) \neq \emptyset$  和  $V(C_i)$  為 unbounded。若  $Q_i$  若在非 convex hull 的角

上，則  $V(C_i)$  可能為 unbounded 或  $V(C_i) = \emptyset$ 。其餘情況下， $V(C_i)$

為 bounded 或  $V(C_i) = \emptyset$ 。

## 二、問題定義

本篇論文主要講解如何在 Laguerre geometry 的定義下，建構出 Voronoi diagram，以及給出這樣定義下的 Voronoi diagram 可以使用 time complexity 為  $O(n \log n)$  和 space complexity 為  $O(n)$  的演算法處理以下問題。

- i. 給定  $n$  個平面上的圓  $C_i = C_i(Q_i, r_i)$ ，判斷任意一點  $P(x, y)$  是否包含於其交集中。
- ii. 求解這些圓交集部分所形成的圖形的連通分量。
- iii. 找出平面中  $n$  個給定圓的交集輪廓。

## 三、解法敘述

在 Euclidean geometry 建構 Voronoi diagram 時，分割  $V(R)$  與  $V(L)$  時，存在一條分界線，使得在建構圖時不用考慮分界線另外一側的，此條分界線具有以下性質。

- LEMMA4

分界線由延伸到無限的兩條射線和一些有限的線段組成。對於  $P_i \in L$  和  $P_j \in R$  的一對，每個元素(射線或線段)包含在  $V(L)$  中的  $V(P_i)$  和  $V(R)$  中的  $V(P_j)$  的交點處，並且是  $P_i$  與  $P_j$  的垂直平分線。

- LEMMA5

兩條射線必為點集  $S = \{P_1, P_2, \dots, P_n\}$  所形成的  $\text{convex hull}(\text{CH}(S))$  邊界上一對連續點的垂直平分線，使得一條在  $L$  中，另一條在  $R$  中。

透過得知如何在 Euclidean geometry 建構 Voronoi diagram 後，作者透過一些手法更動後，便可以在 Laguerre geometry 下建構 Voronoi diagram，步驟如下。

Step I：將  $C = \{C_1, C_2, \dots, C_n\}$  依  $x$  軸排序後，分成兩個子集得到  $L = \{C_1, C_2, \dots, C_{\lfloor n/2 \rfloor}\}$  與  $R = \{C_{\lfloor n/2 \rfloor + 1}, C_{\lfloor n/2 \rfloor + 2}, \dots, C_n\}$ ，則兩個子集中的等距點所形成的軌跡即為分界線，與 Euclidean geometry 下的分界線有一樣的性質，並具有 LEMMA6 的性質。

- LEMMA6

分割的多邊形的線是單曲線，由兩條射線和幾個有限的線段。該折線的左(右)的每個點 (in Laguerre geometry) 比  $R[L]$  中的任何一個圓更接近  $L[R]$  中的某個圓。

Step II：利用 Voronoi Edge 為直線的性質，順時針掃描方式找到分界線。

StepⅢ：由於 convex hull 的邊緣可能為一直線，在 Laguerre geometry 上，有些在 Euclidean geometry 的性質不成立，如下圖所示。

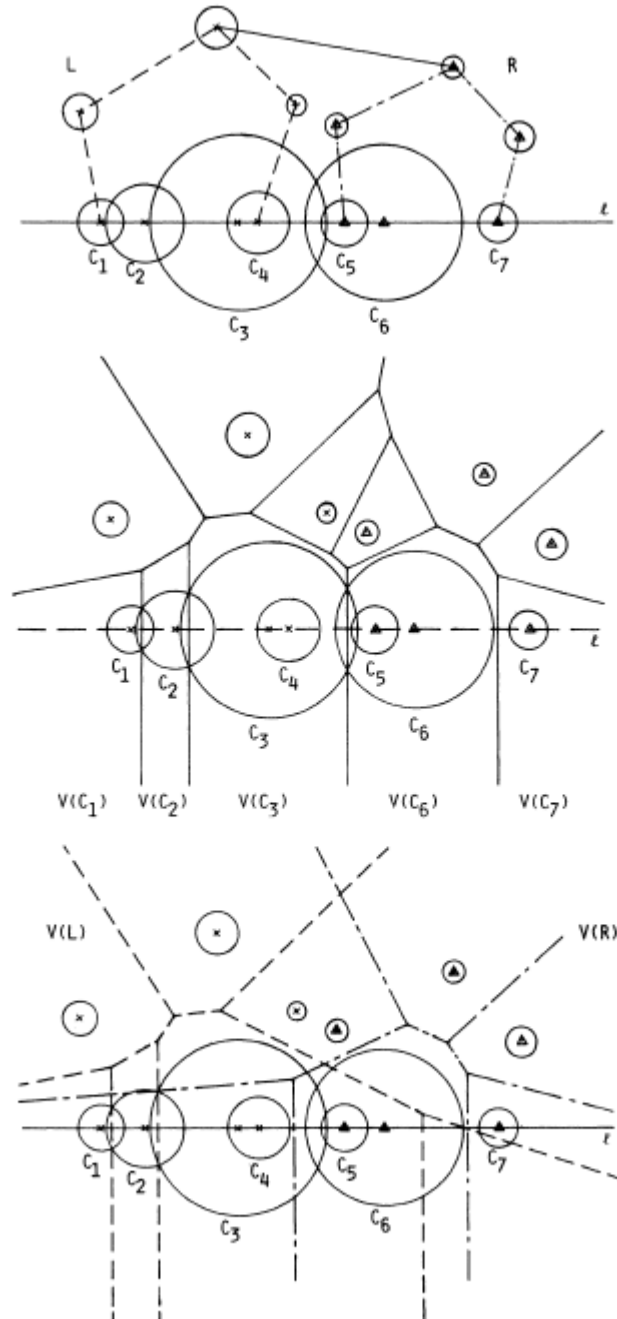


FIG. 5. Finding a ray in a degenerate case. (i) Degenerate new hull edge  $l$  ( $L_l = \{C_1, C_2, C_3, C_4\}$ ,  $R_l = \{C_5, C_6, C_7\}$ ). (ii)  $V(L \cup R)$ . (iii)  $V(L)$  and  $V(R)$ . (iv)  $V(L_l)$  and  $V(R_l)$ .

因此在 LEMMA5 的部分要做些修改，得出 LAMME7。

● LEMMA7

考慮 convex hull 退化成直線的  $\ell$  的狀況下，將  $L$  和  $R$  中圓心位在此線上的集合標為  $L_\ell$  和  $R_\ell$ ，將  $V(L_\ell \cap R_\ell)$  中所對應的 Voronoi Edge  $e^*$  的圓分別標為  $C_{i^*} \in L_\ell \subseteq L$  和  $C_{j^*} \in R_\ell \subseteq R$ 。則  $e^*$  即為  $C_{i^*}$  與  $C_{j^*}$  的根軸，便是所求的射線，如下圖所示。

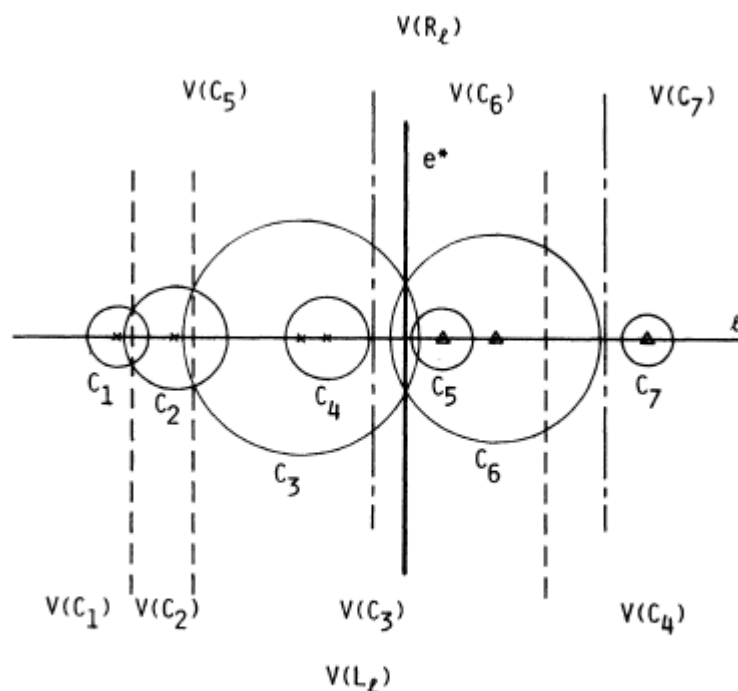


FIG. 5. (cont.)

StepIV : Merge L and R

如下圖所示，找出分界線後，即可 merge 原先分隔開來的兩個子集合  $R$  與  $L$ ，此步驟與 Shamos and Hoey 所提出的演算法極為相似，也是在 Time complexity 為  $O(n)$  可完成。



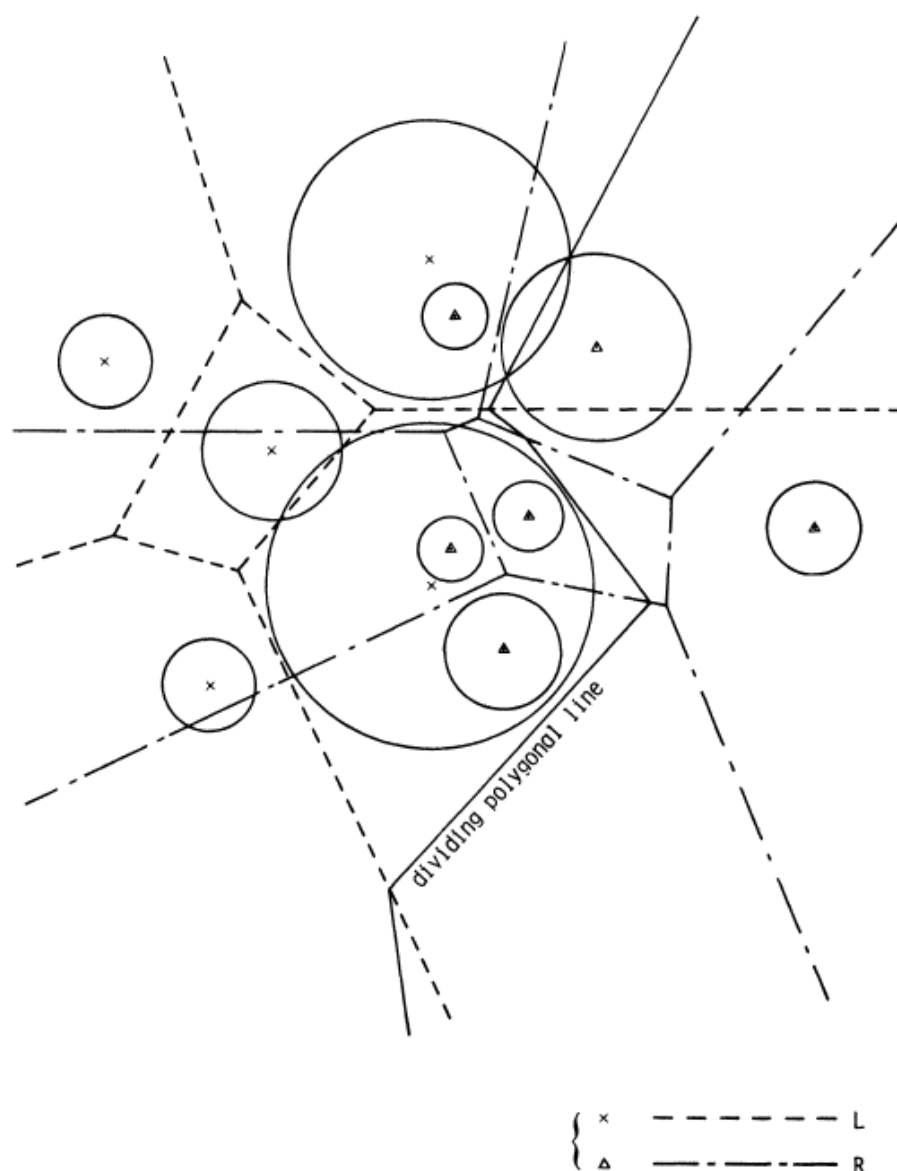


FIG. 4. Merging the Voronoi diagrams in the Laguerre geometry.

綜合上述，在 Laguerre geometry 下建構  $n$  個圓的 Voronoi diagram 可以

在 Time complexity 為  $O(n \log n)$  的情況下完成。

#### 四、 讀後心得

最後一次作業可以說是最難的一次，一大坨的數學證明，一大坨的應用問

題，到底人類的腦袋要怎麼想出這些？我到現在還是沒有任何頭緒。看完這

篇後，甚至有了畢業就好的心態，因為我完全不知道論文要怎麼寫才能寫

出這麼有深度、有理論和有實際應用的文章？

文章中給出了三個應用場景，雖然說是有點引人入勝，但說真的這些在我的日常生活中可能也用不太到，可能進入業界十年後回頭來看這篇，或許會有不同感觸吧!?